

長崎大学工学部 学生員 一山辺輝久
 長崎大学工学部 正員 高橋和雄
 ハ木設計事務所 正員 河原清勝

1. 緒言 薄肉弹性板は、薄板および薄肉シェルなどの構造に外力が作用するときに容易に共振振動を生じ、その運動方程式は連立の非線形偏微分方程式に支配される。従来、これら弹性体の非線形振動を1自由度系と仮定する解法が行われてきたが、非線形項が大きくなると有効性を失ったり、実情に沿わない厳しい仮定となる場合がある¹⁾。最近、弹性体を多自由度系と仮定のうえ、調和バランス法を用いてかなり大きな非線形の領域まで取り扱う解法が採用されつつある²⁾。本論では弹性体すなわち連続体を多自由度系に置換する場合の近似的度合と調和バランス法の収束状況の検討および振幅の無限大安定性を確めるための第1変分方程式としてえられる高調波を含む連立のMathieuの方程式の簡潔でかつ数値解析の容易な手法を提案したものである。

2. 基礎式 (1) はりの場合 $P = -\frac{EI}{l^2} \left(\frac{d^4 w}{dx^4} \right) dx \quad (1) \quad L(y, P) = EI \frac{d^4 w}{dx^4} + PA \frac{dw}{dx} + C \frac{w''}{l^2} - P \cos \omega t = 0 \quad (2)$

ここに、y: はりのたわみ、E: ヤング率、A: 断面2次モーメント、P: 断面積、l: スパン、P: はりの密度、C: 粘性抵抗係数、t: 時間、P: 外力の荷重強度、Ω: 外力の円振動数、x: スパン方向の座標

(2) 軸対称円板の場合 $\nabla^4 F = -\frac{E}{R} \frac{\partial^2 w}{\partial r^2} \quad (3) \quad L(w, F) = D \nabla^4 w + P R \frac{\partial^2 w}{\partial r^2} + C \frac{w''}{R^2} - \frac{P}{R} \frac{\partial}{\partial r} \left(\frac{\partial^2 w}{\partial r^2} \right) - P \cos \Omega t = 0 \quad (4)$

ここに、w: 板のたわみ、F: Airyの応力関数、D: ER/(1+ν): 板剛度、ν: ポアソン比、R: 板厚、r: 座標

3. 多自由度系解析法 上述の運動方程式の解を次のよう仮定する。

$$y = R \sum_{n=1}^{\infty} X_n(x) T_n(t) \quad (\text{はりの場合}), \quad w = R \sum_{n=1}^{\infty} R_n(r) T_n(t) \quad (\text{円板の場合}) \quad (5)$$

式(5)の座標関数 $X_n(x)$, $R_n(r)$ として線形曲げ振動の規準関数を用い、円板の場合には応力関数を決定のうえ、釣合式(2)および(4)にGalerkin法を適用することにする。 $\int L(y, P) X_n dx = 0$ (はりの場合), $\int L(w, F) R_n r dr = 0$ (円板の場合) (6)

振動の規準関数に関する直交性および減衰に関する直交性の仮定を用いれば、次の時間に限る連立非線形常微分方程式がえられる。 $\ddot{T}_n + 2f_m d_n \dot{T}_n + d_n^2 T_n + \sum_{k=1}^{\infty} \sum_{l=1}^{\infty} B_{klm} T_k T_l T_m = \beta_n \bar{P} \cos \bar{\Omega} t \quad (7)$ ここに, $\bar{w} = \Omega / \omega_1$, $t = \omega_1 t$

f_m : 減衰定数, d_n , B_{klm} : 線形、非線形バネ定数

式(7)の周期解正弦のようにFourier級数に仮定する。 $T_n = \sum_{m=1}^{\infty} (a_n^m \cos \bar{\Omega} t + b_n^m \sin \bar{\Omega} t)$ (8) ここに, a_n^m , b_n^m : 未定定数
 式(8)を式(7)に代入して非線形項に含まれる正弦、余弦の積を加法定理を用いて展開のうえ、調和バランス法を適用すれば、未定定数 a_n^m , b_n^m を決定するための連立代数方程式が求められる。注意の振動数比 $\bar{\Omega}$ に対して適当な初期値を与えて、Newton-Raphson法の繰り返し計算を用いて、 a_n^m および b_n^m を決定することができる。

4. 振幅安定判別法 周期解 T_m にわずかに乱れ $\delta_m(t)$ を与えたときの第一変分方程式は次式となる。

$$IE \ddot{\delta} + 2H \dot{\delta} + A \delta + \sum_{k=1}^{\infty} (B_k \cos 2\bar{\Omega} t + C_k \sin 2\bar{\Omega} t) \delta = 0 \quad (9)$$

ここに, E: 単位行列, H: 減衰行列, A: 制行列, B, C: 非線形バネ定数と振幅の2次の積からなる行列
 上式は高調波を含む連立のMathieuの方程式である。以下の解析に先立って、減衰行列は行列の積の交換則が成立する単位行列に変換できる $H = R E$ なる場合を取り扱うこととする。いま $\delta = e^{-Ht/2} \tilde{\delta}$ とおけば、次のような第一階の微係数を欠く標準形に変換することができます。 $E \ddot{\delta} + [A - H^2 + \sum_{k=1}^{\infty} (B_k \cos 2\bar{\Omega} t + C_k \sin 2\bar{\Omega} t)] \{ \tilde{\delta} \} = 0 \quad (10)$

式(10)の解を微分方程式の解の周期性を保証するFourier級数と収束、発散を表現する未定定数を含む指數関数の積の形に仮定する。 $\tilde{\delta} = \left\{ \frac{1}{2} I_b + \sum_{k=1}^{\infty} (Q_k \sin 2\bar{\Omega} t + I_k \cos 2\bar{\Omega} t) \right\} e^{i\bar{\Omega} t} \quad (11)$ ここに, I_b , Q_k , I_k : 時間に無関係な定数
 上式を式(10)に代入して再び調和バランス法を適用すれば、次のような未定定数 I_b , Q_k および I_k を求めるための同次方程式が求められる。 $G(X) = 0 \quad (12)$ ここに, G: 係数行列, X: I_b , Q_k , I_k よりなる列ベクトル

上式のXが0ベクトル以外の解を持つためには、係数行列Gの値がゼロでなければならない。 $\det(G) = 0 \quad (13)$

式(13)は行列Gの性質から次のよう2次の入行列に分解することができる。

$$\det(G) = \det(M_0 - \lambda M_1 - \lambda^2 M_2) = 0 \quad (14) \quad \text{ここに, } M_0, M_1, M_2: 1\text{次}, 0\text{次}, 1\text{次および2次の係数行列}$$

式を満足する入を求めるには2倍サイズの行列の固有値問題に変換する手法に従えば、QR法を用いてすべての固有値が求められる。えられた固有値の実数部から減衰行列を引いた値がすべてゼロもしくは負ならば安定、1つでも正ならば不安定というLyapunovの漸近安定の概念によって振幅の安定判別を直接行なうことができる。

5. 敷値結果 両端固定ばかりを対象に振幅比 $A = |\sum \sum a_{ij}|$

$= 8$ の場合の自由振動の解の収束状況を横軸に調和バランス法の項数 n 、縦軸に振動数比 $\bar{\omega}$ を取り、自由度の数 m をパラメーターに描いた結果を示す。図より Fourier 級数の項数 n について 3 項程度で収束することがわかるが、自由度の数 m は Fourier 級数の項数より多く採用する必要があるといえる。表-1(a)はこのようにしてえられた振動数比 $\bar{\omega}$ と振幅比 A との関係をまとめたものである。(b)は 1 自由度の 4 通りの規準関数を用いた結果を示すものである。(c)は同じく 1 自由度系の 4 通りの座屈波形を用いた結果を示す。(d)は

A	(a)	(b)	(c)	(d)
1	1.0222	1.0222	1.0423	1.022
2	1.0854	1.0857	1.1096	1.085
3	1.1824	1.1831	1.2126	1.182
4	1.3049	1.3064	1.3425	1.305
5	1.4468	1.4488	1.4922	1.447
6	1.6046	1.6051	1.6522	1.599
7	1.7771	1.7717	1.8307	1.774
8	1.9672	1.9459	2.0131	

表-1 両端固定ばかりの振動数比

一定の軸力を受けるばかりの規準関数を用いて、えられた初期条件のもとに周期振動が可能であるか否かを差分法による数值実験を行なうことによって求めたものである。(b)のばかりの規準関数を用いた 1 自由度系の解と(a)の多自由度系の解との差は小さいが、振幅が変化とともに振動波形が変動するので両者は必ずしも合致するものではない。(d)の差分法による結果は本法と振動数比 $\bar{\omega}$ と波形とも合致している。他のばかりおよび板については収束は良好で、モード間の連成が少ないところでは 3 項程度で十分である。

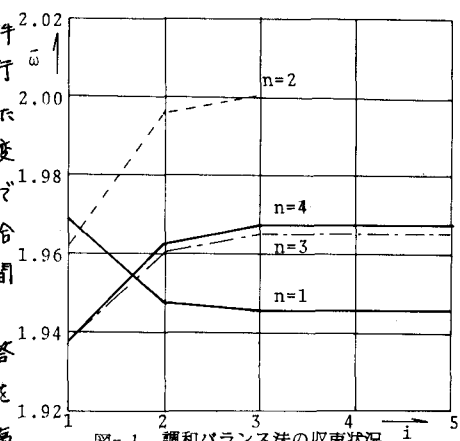


図-1 調和バランス法の収束状況

両端ヒンジばかりを 1 自由度 2 項近似まで採用した強制振動の応答曲線を算定したのが図-2 である。図において横軸は振動数比 $\bar{\omega}$ を縦軸は振幅の絶対値 A を示した。図中の実線は外力の同位相の振幅に、点線は外力と逆位相の振幅に対応するものである。応答曲線に○印を付した振幅は安定、×印を付した振幅は不安定となることを示したものである。

$\bar{\omega}=1.0$ 附近に生ずる共振は主共振を示し、 $\bar{\omega}=0.34$ 附近に連続的に生ずる共振は 3 倍の高調波共振を示すものである。主共振の逆位相の振幅が鉛直接線をもつ点で ($\bar{\omega}=70$ で $\bar{\omega}=1.42$, $\bar{\omega}=30$ で $\bar{\omega}=1.23$) 逆の振幅は安定から不安定に移ることがわかる。応答曲線図において、鉛直接線の軌跡と自由振動の背滑曲線に囲まれる領域は Mathieu 方程式の第 1 不安定領域に対応するものである。 $\bar{\omega}=0.34$ 附近の高調波共振においても同位相の振幅が鉛直接線をもつ点で安定から不安定となることがわかる。 $\bar{\omega}=0.6$ 附近で基本波の振幅が不安定となるのは Mathieu の方程式の第 2 不安定領域に対応するものである。 $\bar{\omega}=30$ 附近に分岐的生ずる 3 分の 1 の分数調波共振は逆位相の振幅が不安定で、同位相の振幅が安定であることがわかる。減衰のある場合や多自由度系としての結果については講義時に発表する。

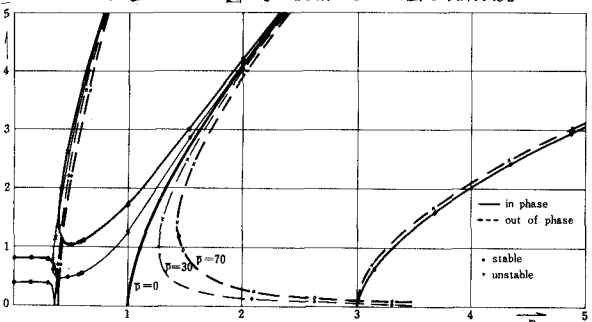


図-2 両端ヒンジばかりの周波数-応答曲線 ($h=0$)

参考文献 1) Y.K. Lin: Probabilistic Theory of Structural Dynamics, McGraw-Hill, Inc., 1967 2) 高橋・樽木: 多自由度系解析法によるリの非線形振動、第29回土木学会年次学術講演会講演概要集、第1部、昭和49年10月